

# IV. Détection de contours

```
43 %---
44 % mise en évidence du contour
45 % somme sur les colonnes
46 sumP=sum(JPs); sumS=sum(JSs); sumR=sum(JRs);
47 % détection du contour
48 dimP = (size(JPs))(1);
49 dimS = (size(JSs))(1);
50 dimR = (size(JRs))(1);
51 gooP = sumP(dimP/2:dimP/2+1);
52 gooS = sumS(dimS/2:dimS/2+1);
53 gooR = sumR((dimR+1)/2);
54
55 { '-----' ;
56 'Détection du contour...' ;
57 '-----' ;
58 ['Prewitt : ', num2str(dimP), ' ', num2str(gooP)] ;
59 ['Sobel   : ', num2str(dimS), ' ', num2str(gooS)] ;
60 ['Roberts : ', num2str(dimR), ' ', num2str(gooR)] ;
61 '-----' }
62 % => probabilités de détection
63 { '-----' ;
64 '=> Probabilités de détection...' ;
65 '-----' ;
66 ['Prewitt : ', num2str(sum(gooP)/(2*dimP))] ;
67 ['Sobel   : ', num2str(sum(gooS)/(2*dimS))] ;
68 ['Roberts : ', num2str(sum(gooR)/dimR)] ;
69 '-----' }
```

```
dummy=size(JPs), dimP = dummy(1);
dummy=size(JSs), dimS = dummy(1);
dummy=size(JRs), dimR = dummy(1);
```

```
ans =
{
 [1,1] = -----
 [2,1] = Détection du contour...
 [3,1] = -----
 [4,1] = Prewitt : 126 107 97
 [5,1] = Sobel   : 126 95 83
 [6,1] = Roberts : 127 36
 [7,1] = -----
}
```

```
ans =
{
 [1,1] = -----
 [2,1] = => Probabilités de détection...
 [3,1] = -----
 [4,1] = Prewitt : 0.80952
 [5,1] = Sobel   : 0.70635
 [6,1] = Roberts : 0.28346
 [7,1] = -----
}
```

- Conclusion : Prewitt > Sobel >> Roberts
- Mais : Roberts détecte un « vrai » bord, de 1 pixel de large (pas 2)...

# IV. Détection de contours

	$\Delta_p$	FA	$\Delta_S$	$\Delta_R$	$P_p^{det+}$	$P_S^{det+}$	$P_R^{det+}$
Félicie	0.25	12	0.362	0.172	0.76	0.63	0.12
Bilal	0.25	11	0.351	0.166			
Neil	0.25	11	0.35				
Cindy	0.25	12	0.32	0.175	0.76	0.63	0.30
Sylvie	0.25	7	0.366				
Délia	0.25	9	0.362	0.175	0.67	0.59	0.22
Donnyda	0.25	6	0.365	0.174			
E. Hostapher	0.25	5	0.334	0.178	0.84		0.37
Emilie	0.25	6	0.362	0.181	0.75	0.62	0.19

# IV. Détection de contours

- **EXERCICE 3 (suite) :** Calculer les  $P_{fa}$  correspondantes « à la main ». Puis coder ce calcul de  $P_{fa}$  de manière à le rendre automatique.

**Théoriquement, on doit avoir :**

$$P_{fa}^P = P_{fa}^S = 9/(126 \times 124) \simeq 5.7604 \cdot 10^{-4}$$

$$P_{fa}^R = 9/(127 \times 126) \simeq 5.6243 \cdot 10^{-4}$$

**Et en effet :**

```
71 %---
72 % probabilité de fausse alarme
73 FA_ga_P = sum(sumP(1:dimP/2-1));
74 FA_dr_P = sum(sumP(dimP/2+2:dimP));
75 FA_ga_S = sum(sumS(1:dimS/2-1));
76 FA_dr_S = sum(sumS(dimS/2+2:dimS));
77 FA_ga_R = sum(sumR(1:(dimR+1)/2-1));
78 FA_dr_R = sum(sumR((dimR+1)/2+1:dimR));
79 { '-----' ;
80   'Probabilité de fausse alarme' ;
81   '-----' ;
82   ['Prewitt : ', num2str((FA_ga_P+FA_dr_P)/((dimP-2)*dimP))] ;
83   ['Sobel   : ', num2str((FA_ga_S+FA_dr_S)/((dimS-2)*dimS))] ;
84   ['Roberts : ', num2str((FA_ga_R+FA_dr_R)/((dimR-1)*dimR))] ;
85   '-----' }
```

```
ans =
{
 [1,1] = -----
 [2,1] = Probabilité de fausse alarme
 [3,1] = -----
 [4,1] = Prewitt : 0.00057604
 [5,1] = Sobel   : 0.00057604
 [6,1] = Roberts : 0.00056243
 [7,1] = -----
}
```

# IV. Détection de contours

- **EXERCICE 3bis** : Partir de  $P_{fa} \approx 1\%$ , en déduire le nombre de fausses alarmes ( $N_{fa}$ ) correspondant (pour chaque cas : Prewitt, Sobel, Roberts), en déduire alors (pour chaque cas aussi) le seuil nécessaire (en comptant automatiquement  $N_{fa}$ ), puis calculer les  $P_{dét.}$  résultantes à partir des images de contour unique seuillées correspondantes.

$P_{fa}=1\% \Rightarrow N_{fa} = 156$  pour Prewitt et Sobel (1% de 124x126) et  $N_{fa} = 160$  pour Roberts (1% de 126x127).

# IV. Détection de contours

- De manière théorique, on peut prévoir la valeur du seuil qui donne une certaine probabilité de fausse alarme :

$$P_{f.a.} = \exp\left(-\frac{s^2}{2\sigma^2}\right) \Rightarrow s = \sqrt{-2\sigma^2 \ln(P_{f.a.})}$$

Avec : variance = somme des carrés des coeff. du filtre x variance du bruit Gaussien présent dans l'image filtrée.

Et :  $P_{fa}$  = nombre de fausses alarmes/nombre total de pixels qui ne sont pas du contour.

6	0.006	(124x126)	0.00057604
Ici : variance = $12 \times 0.001 = 0.012$ ;	Et : $P_{fa} = 9 / (124 \times 126) \approx 0.00057604$		
2	0.002	(126x127)	0.00056243

D'où :  $S_{Prewitt} = \sqrt{-2 \cdot \ln(0.00057604) \cdot 0.006} \approx 0.299$  (à comp. au 0.250 utilisé)  
 $S_{Sobel} = \sqrt{-2 \cdot \ln(0.00057604) \cdot 0.012} \approx 0.423$  (à comp. au 0.362 utilisé)  
 $S_{Roberts} = \sqrt{-2 \cdot \ln(0.00056243) \cdot 0.002} \approx 0.173$  (à comp. au 0.175 utilisé)

# IV. Détection de contours

## 6- REMARQUE FINALE

- Il existe pléthore de méthodes permettant la détection de contour. La fonction **edge** en intègre plusieurs, dont l'utilisation des paires de filtres Prewitt, Sobel et Roberts que nous avons vue précédemment, avec même quelques options supplémentaires (telle que « thinning » qui permet à Prewitt ou Sobel de produire des contours d'un seul pixel de large).

La fonction **edge** intègre également d'autres méthodes intéressantes, telle que par exemple celle de Canny faisant usage de deux seuils, ce qui doit permettre de s'affranchir plus facilement du bruit.

```
>> help edge
'edge' is a function from the file /Users/marcel/Library/Application Support/Octave.app/4.4.1/pkg/image-2.10.0/edge.m

-- Function File: [BW, THRESH] = edge (IM, METHOD, ...)
   Find edges using various methods.

The image IM must be 2 dimensional and grayscale. The METHOD must be a string with the string name. The other input arguments are dependent on METHOD.

BW is a binary image with the identified edges. THRESH is the threshold value used to identify those edges. Note that THRESH is used on a filtered image and not directly on IM.

See also: fspecial.
```

# IV. Détection de contours

```
-- Function File: edge (IM, "Prewitt")  
Find edges using the Prewitt
```

This method is the same as Kirsch's edge gradient is used.

```
-- Function File: edge (IM, "Roberts")  
-- Function File: edge (IM, "Roberts")  
-- Function File: edge (IM, "Roberts")  
Find edges using the Roberts
```

This method is similar to Kirsch's edge gradient is used, and the default threshold is  $\sqrt{1.5}$ . In addition, there is a `DIRECTION` argument.

```
-- Function File: edge (IM, "Sobel")  
Find edges using the Sobel operator
```

This method is the same as Kirsch's edge gradient is used.

```
-- Function File: edge (IM, "Kirsch")
```

```
-- Function File: edge (IM, "Kirsch", THRESH)
```

```
-- Function File: edge (IM, "Kirsch", THRESH, DIRECTION)
```

```
-- Function File: edge (IM, "Kirsch", THRESH, DIRECTION, THINNING)
```

Find edges using the Kirsch approximation to the derivatives.

Edge points are defined as points where the length of the gradient exceeds a threshold `THRESH`.

`THRESH` is the threshold used and defaults to twice the square root of the mean of the gradient squared of `IM`.

`DIRECTION` is the direction of which the gradient is approximated and can be "vertical", "horizontal", or "both" (default).

`THINNING` can be the string "thinning" (default) or "nothinning". This controls if a simple thinning procedure is applied to the edge image such that edge points also need to have a larger gradient than their neighbours. The resulting "thinned" edges are only one pixel wide.

```
-- Function File: edge (IM, "Lindeberg")
```

```
-- Function File: edge (IM, "Lindeberg", SIGMA)
```

Find edges using the differential geometric single-scale edge detector by Tony Lindeberg.

`SIGMA` is the scale (spread of Gaussian filter) at which the edges are computed. Defaults to '2'.

This method does not use a threshold value and therefore does not return one.

# IV. Détection de contours

```
-- Function File: edge (IM, "Canny")  
-- Function File: edge (IM, "Canny", THRESH)  
-- Function File: edge (IM, "Canny", THRESH, SIGMA)  
  Find edges using the Canny method.
```

THRESH is two element vector for the hysteresis thresholding. The lower and higher threshold values are the first and second elements respectively. If it is a scalar value, the lower value is set to '0.4 \* THRESH'.

SIGMA is the standard deviation to be used on the Gaussian filter that is used to smooth the input image prior to estimating gradients. Defaults to 'sqrt (2)'.



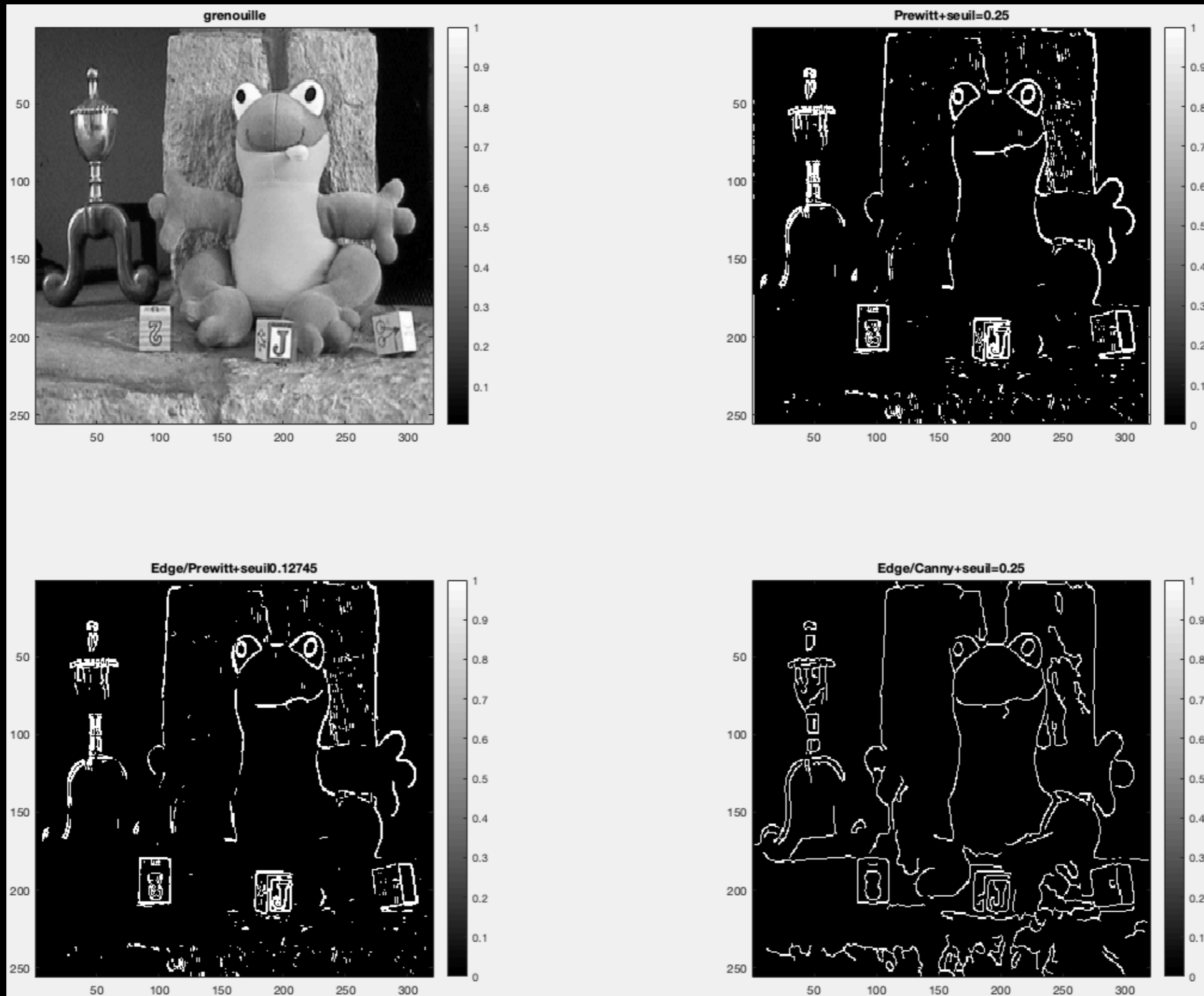
# IV. Détection de contours

- **EXERCICE 4** : Reprendre l'image plus complexe de la grenouille. Lui appliquer le filtre de Prewitt avec un seuil de, par exemple, 0.25. Penser à ramener les valeurs de l'image de contours unique entre 0 et 1. Comparer le résultat en utilisant l'option 'prewitt' de la fonction `edge` (seuil par défaut, pas de « thinning »), puis en utilisant la méthode de Canny (en préférant un seuil à déterminer plutôt que celui par défaut afin de pouvoir rendre plus comparables entre eux les résultats obtenus).

# IV. Détection de contours

```
1 clear
2 close all
3 %pkg load image
4
5 %---
6 % image de la grenouille non-bruitée
7 img='/Users/marcel/Documents/MATLAB/GBM/0-images/frog.jpg';
8 frog=imread(img);
9 I=rgb2gray(frog);
10 J=double(I)/255.;
11 % Prewitt
12 Ph=fspecial('prewitt'); Pv=-Ph';
13 IPh=filter2(Ph,J,'same'); IPv=filter2(Pv,J,'same');
14 IPvh=sqrt(IPv.^2+IPh.^2);
15 IPvh=IPvh-min(min(IPvh)); IPvh=IPvh/max(max(IPvh));
16 seuilP=.25; IPs=IPvh>seuilP;
17 % Edge/Prewitt
18 %'seuil par défaut utilisé par Edge/Prewitt', 2*sqrt(mean(mean(IPvh.^2)))
19 [JE, seuilP1]=edge(J, 'prewitt', 'nothinning');
20 'seuil par défaut utilisé par Edge/Prewitt (sans bruit)', seuilP1
21 % Edge/Canny
22 seuilC=0.25;
23 JC=edge(J, 'canny', seuilC);
24 % figure
25 figure(1), colormap(gray)
26 subplot(2,2,1), imagesc(J), title('grenouille'), colorbar, axis('square')
27 subplot(2,2,2), imagesc(IPs), colorbar, axis('square')
28     title(['Prewitt+seuil=', num2str(seuilP)])
29 subplot(2,2,3), imagesc(JE), colorbar, axis('square')
30     title(['Edge/Prewitt+seuil', num2str(seuilP1)])
31 subplot(2,2,4), imagesc(JC), colorbar, axis('square')
32     title(['Edge/Canny+seuil=', num2str(seuilC)])
```

# IV. Détection de contours



# IV. Détection de contours

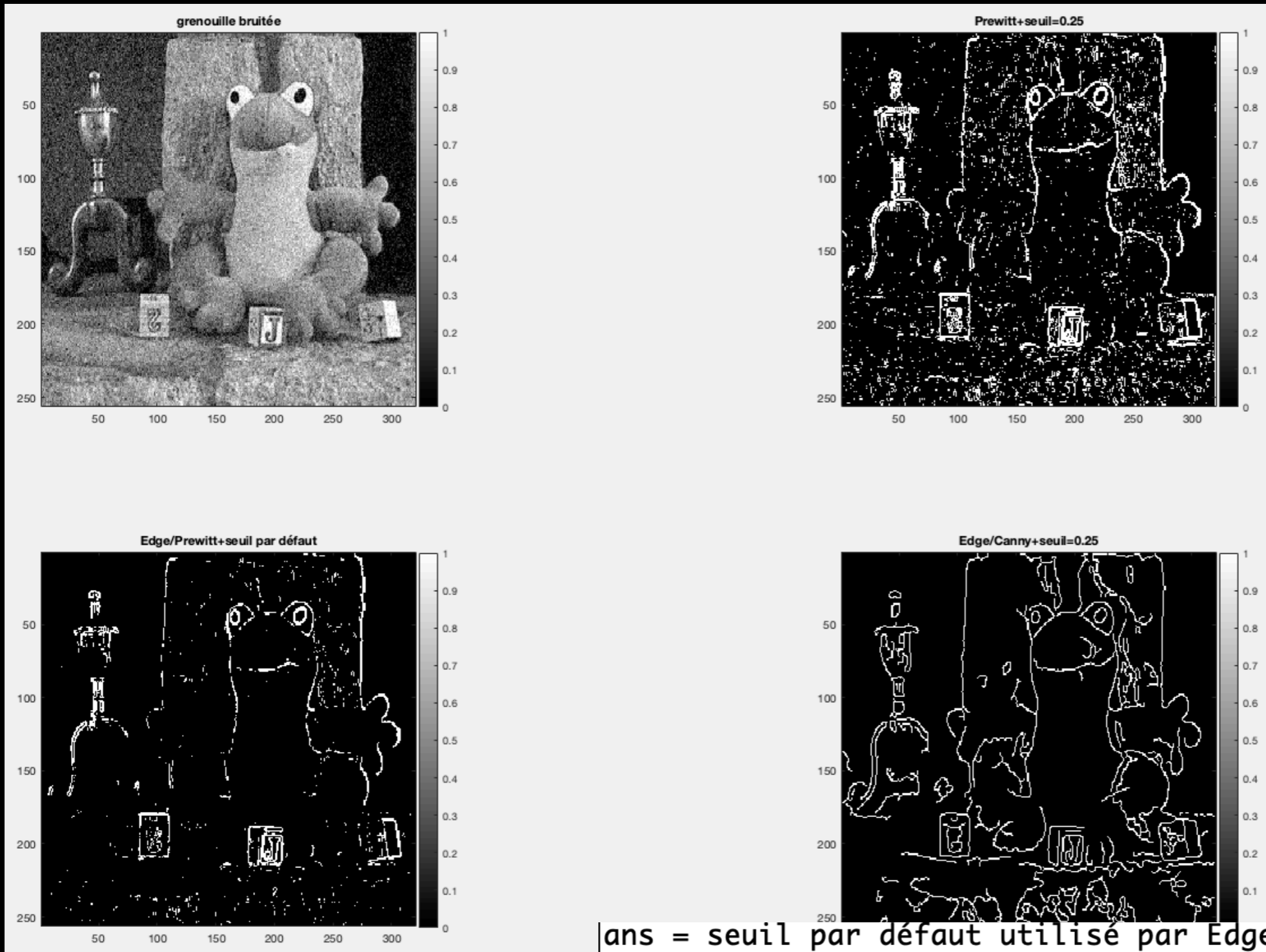
- **EXERCICE 4bis : Même chose avec une image significativement bruitée (bruit gaussien additif, variance de 0.01).**

**(Bien écrêter les valeurs de l'image bruitée qui pourraient descendre en-dessous de 0 ou dépasser 1, pour être compatible avec le fonctionnement de **edge** qui réclame des images entre 0 et 1.)**

# IV. Détection de contours

```
34 %---
35 % image de la grenouille bruitée
36 J=imnoise(J, 'gaussian', 0., .01);
37 % écrêtage de l'image entre 0 et 1
38 idx=find(J<0); J(idx)=0.;
39 idx=find(J>1); J(idx)=1.;
40 % Prewitt
41 Ph=fspecial('prewitt'); Pv=-Ph';
42 IPh=filter2(Ph,J,'same'); IPv=filter2(Pv,J,'same');
43 IPvh=sqrt(IPv.^2+IPh.^2);
44 IPvh=IPvh-min(min(IPvh)); IPvh=IPvh/max(max(IPvh));
45 seuilP=.25; IPs=IPvh>seuilP;
46 % Edge/Prewitt
47 %'seuil par défaut utilisé par Edge/Prewitt', 2*sqrt(mean(mean(IPvh.^2)))
48 [JE, seuilP2]=edge(J, 'prewitt', 'nothinning');
49 'seuil par défaut utilisé par Edge/Prewitt (avec bruit)', seuilP2
50 % Edge/Canny
51 JC=edge(J, 'canny', seuilC);
52 % figure
53 figure(2), colormap(gray)
54 subplot(2,2,1), imagesc(J), title('grenouille bruitée'), colorbar, axis('square')
55 subplot(2,2,2), imagesc(IPs), colorbar, axis('square')
56     title(['Prewitt+seuil=', num2str(seuilP)])
57 subplot(2,2,3), imagesc(JE), colorbar, axis('square')
58     title('Edge/Prewitt+seuil par défaut')
59 subplot(2,2,4), imagesc(JC), colorbar, axis('square')
60     title(['Edge/Canny+seuil=', num2str(seuilC)])
```

# IV. Détection de contours



ans = seuil par défaut utilisé par Edge/Prewitt (sans bruit)  
seuilP1 = 0.1276  
ans = seuil par défaut utilisé par Edge/Prewitt (avec bruit)  
seuilP2 = 0.1685